

## تقریب بیضوی اثرات توپوگرافی در مدل‌سازی میدان گرانی زمین

مهدی گلی<sup>۱\*</sup> و مهدی نجفی علمداری<sup>۲</sup>

<sup>۱</sup> استادیار، دانشکده مهندسی عمران، دانشگاه صنعتی شاهرود، ایران  
<sup>۲</sup> دانشیار، گروه هیدروگرافی، دانشگاه آزاد اسلامی، واحد تهران شمال، ایران  
(دریافت: ۹۱/۶/۲۶، پذیرش نهایی: ۹۳/۲/۳۰)

### چکیده

اثر جاذبی توپوگرافی به منزله یک مولفه کلیدی، در مدل‌سازی میدان گرانی زمین نقش مهمی ایفا می‌کند. محاسبه اثر توپوگرافی به کمک مدل‌های رقومی زمین که در دستگاه مختصات (گاوسی) ژئودتیکی داده می‌شوند، صورت می‌گیرد. معمولاً برای محاسبه این اثر از تقریب کروی انتگرال نیوتن استفاده می‌شود. این تحقیق به تقریب بیضوی پتانسیل جاذبی ناشی از توپوگرافی و گرادیان ارتفاعی آن اختصاص دارد. در این مقاله روابط کاملی برای محاسبه پتانسیل و گرادیان ارتفاعی آن (اثر توپوگرافی بر شتاب گرانی) با استفاده از انتگرال نیوتن در دستگاه مختصات بیضوی گاوسی عرضه شده است. نتایج عددی برای دو حالت کروی و بیضوی مورد مقایسه قرار گرفته است. نتایج عددی برای منطقه آزمون ایران نشان می‌دهد که صرف‌نظر از اثر عبارتهای بوگه با دقت خوبی می‌توان از تقریب کروی انتگرال نیوتن و گرادیان ارتفاعی آن در مدل‌سازی منطقه آزمون استفاده کرد. مقادیر عددی اختلاف دو مدل بیضوی و کروی برای پتانسیل کمتر از  $50 \text{ m}^2\text{s}^{-2}$  و  $500$  میکروگال برای شتاب جاذبی ناشی از توپوگرافی است. با وجود این مقادیر در تعیین ژئوئید سانتی‌متری می‌تواند حائز اهمیت باشد.

واژه‌های کلیدی: میدان گرانی، اثرات توپوگرافی، تقریب بیضوی، دستگاه مختصات ژئودتیکی گاوسی

## Ellipsoidal approximation of the topographical effects in the Earth's gravity field modelling

Goli, M.<sup>1</sup> and Najafi-Alamdari, M.<sup>2</sup>

<sup>1</sup>Assistant Professor in Geodesy, Faculty of Civil Engineering, Shahrood University of Technology, Iran

<sup>2</sup>Associated Professor in Geodesy, Faculty of Marine Science and Technology, Islamic Azad University, North Tehran Branch, Iran

(Received: 16 Sep 2012, Accepted: 20 May 2014)

### Summary

The topographical effect is one component of the Earth's gravity field that needs to be reliably evaluated in the gravity field modeling. The topographical effect can be numerically evaluated from the knowledge of a Digital Terrain Models (DTM). After the Satellite positioning system, e.g., GPS, the computation points as well as DTMs present/convert in Gauss ellipsoidal (geodetic) coordinates system,  $\lambda$ ,  $\varphi$  and  $h$  called ellipsoidal longitude, longitude and height, respectively.

So far, the planar and spherical models of the topography are frequently used for computation of the effect of topographical masses in geodesy and geophysics. In practice, the planar model is widely used in the evaluation of the classical terrain correction. Vanicek et al. (2001) indicated that the planar model of topography (in form of infinite Bouguer plate) cannot be applied for the solution of the geodetic boundary value problem.

Also, spherical approximation of the topography may be insufficient for precise determination of the 1cm-geoid. Moreover, the interested points on and above the Earth's surface as well as the DTMs are presented in geodetic coordinate system. Therefore the Newton's integral and related formulas should be evaluated in terms of the geodetic coordinates system. In this study, a new exact ellipsoidal formula for potential of topography and its vertical gradient, as well as for second Helmert condensation topography effects are derived.

The Newton's integral for computation of the gravitational potential and its vertical gradient has a weak singularity when the computation point is close to the integration point. According to Martinec (1998), the singularity is removed from the numerical integration using the Cauchy algorithm by adding and subtracting the Bouguer terms (the singularity contribution). In ellipsoidal approximation, the Bouguer terms are computed from an ellipsoidal shell. The ellipsoidal shell is sufficiently approximated by a shell bounded by two concentric, similar ellipsoids that so called homoeoid. The thickness of homoeoid is equal to ellipsoidal height of topography at the interest point. The roughness terms, due to deficiency of the ellipsoidal Bouguer shell can be evaluated by direct numerical integration.

The results of two spherical and ellipsoidal models are numerically investigated in Iran (the highest peak exceeds 5000 m). The selected test area extends from 24° to 40° northern latitudes and from 44° to 60° eastern longitudes. Near zone of topographical integrals extends to 4° and the far zone from 4° to 180°. Near distant is divided into three zones. 1- Innermost zone to 15 minute, 2- middle zone to 1°, and outer zone from 1° to 4°. The contribution of Innermost, middle and outer zones is computed by 3", 30" and 5' DEMs. Far zone effect is computed by integration over a 30' DTM. The numerical results indicate that the magnitudes of ellipsoidal corrections (difference between ellipsoidal and spherical solutions) are small. The main bulk of this correction is long wavelength and is due to Bouguer and distance zone contributions. Therefore the ellipsoidal correction can be sufficiently used for regional and global applications such as regional Earth's gravity field approximation. Since for the compilation of 1cm geoid, the gravity with a precision better than 10  $\mu$ Gal is needed (Martinec, 1998), the ellipsoidal approximation of topography must be used in precise geoid computation particularly in rugged mountainous area.

**Keywords:** Gravity field, Topographical effects, Ellipsoidal approximation, Geodetic coordinate system

## ۱ مقدمه

صفحه‌ای توپوگرافی وجود ندارد. از سوی دیگر تقریب‌های کروی برای تعیین اثرات توپوگرافی ممکن است برای مدل‌سازی دقیق محلی میدان گرانی و تعیین دقیق ژئوئید کافی نباشد. علاوه بر این مختصات نقاط مشاهداتی و مدل‌های رقومی زمین در دستگاه مختصات ژئودتیکی اندازه‌گیری و عرضه می‌شوند. از این رو لازم است، روابط لازم برای محاسبه اثرات توپوگرافی در دستگاه مختصات بیضوی نوشته شود. یک راه حل

مدل‌سازی اثر جاذبی توپوگرافی در ژئودزی و ژئوفیزیک، با استفاده از مدل‌های صفحه‌ای، کروی و بیضوی امکان‌پذیر است. با وجود اینکه محاسبه اثر توپوگرافی در ژئودزی و ژئوفیزیک به طور مرسوم با تقریب صفحه‌ای صورت می‌گیرد (اثر توپوگرافی نسبت به صفحه بوگه)؛ اما ونیچک و همکاران (۲۰۰۱) نشان دادند که حداقل در مدل‌سازی میدان گرانی زمین به روش حل مسائل مقدار مرزی، امکان استفاده از تقریب

به پایین حذف می‌شود. از این رو انتخاب اینکه مرز پایینی توپوگرافی ژئوئید باشد یا بیضوی بستگی به موقعیت مرز در مسئله مقدار مرزی مزبور دارد. در مسئله مقادیر مرزی سوم فیزیکی ژئودزی مرز، ژئوئید است که معمولاً در تقریب کروی با کره و در تقریب بیضوی با بیضوی مرجع تقریب زده می‌شود. لذا مرز در تقریب کروی بیضوی به شعاع  $R$  و در تقریب بیضوی، سطح بیضوی مرجع است. البته این نکته تأثیر چندانی بر نتایج عددی ندارد چرا که اثر جاذبی توپوگرافی بیشتر تابع اختلاف ارتفاع و عکس فاصله است. از آنجا که در فواصل نزدیک میزان تغییرات شعاع بیضوی یا حتی ژئوئید کم است، انتخاب مرز پایین توپوگرافی تأثیر چندانی بر نتایج عددی ندارد.

هدف از این تحقیق بیان انتگرال نیوتن و مشتق ارتفاعی آن در دستگاه مختصات بیضوی و بدون اعمال هیچ تقریب (کامل) است. در ادامه نتایج عددی حاصل با تقریب کروی مقایسه می‌شود.

## ۲ پتانسیل جاذبی توپوگرافی و گرادیان ارتفاعی آن در دستگاه مختصات بیضوی

در یک دستگاه مختصات سه‌بُعدی دکارتی، پتانسیل جاذبی توپوگرافی از انتگرال نیوتن رابطه (۱) به دست می‌آید.

$$V(x, y, z) = \int_B \frac{\rho(x', y', z')}{L(x, y, z, x', y', z')} dx' dy' dz' \quad (1)$$

در این رابطه،  $L$  فاصله اقلیدسی بین دو نقطه  $(x, y, z)$  و  $(x', y', z')$  است.  $\rho(x', y', z')$  چگالی در نقطه انتگرال‌گیری است که در سراسر این مقاله آن را ثابت در نظر می‌گیریم. برای تبدیل انتگرال فوق در دستگاه مختصات بیضوی از دستگاه‌های گوناگون بیضوی می‌توان سود جست. در تحقیق اردلان (۱۹۹۹) فهرست مفصلی از این دسته دستگاه مختصات‌ها به همراه روابط لازم برای تبدیل آنها آمده است. از آنجایی که مشاهدات ما در

جایگزین برای این مسئله، حل به در دستگاه مختصات دکارتی زمین مرکز است. در این صورت باید مدل رقومی زمین نیز در دستگاه مختصات دکارتی داده شود. امری که غیر عملی و غیر کاربردی است.

به منزله یک راه حل جایگزین، اردلان و صفری (۲۰۰۴) پیشنهاد استفاده از سامانه تصویرهای هم‌مساحت را مطرح کردند. در این تحقیق اثر جاذبی توپوگرافی برای شتاب گرانی زمین در یک سامانه تصویر هم‌مساحت با حفظ تقریب‌های بیضوی مدل شد. با استفاده از دستگاه مختصات دکارتی می‌توان از جواب تحلیلی انتگرال نیوتن و گرادیان‌های ارتفاعی آن در این دستگاه مختصات سود جست. باید اشاره کرد که محاسبه شتاب جاذبی توپوگرافی با استفاده از سامانه تصویر به مفهوم استفاده از تقریب صفحه‌ای توپوگرافی نیست.

در تحقیق نواک و گرافارند (۲۰۰۵) تقریب بیضوی،  $O(e^4)$ ، پتانسیل جاذبی ناشی از توپوگرافی و مشتق ارتفاعی آن را در دستگاه مختصات بیضوی ژئودتیکی بیان کردند. آنها توانستند اثر توپوگرافی را به صورت اثر توپوگرافی کروی و تصحیح بیضویت بیان کنند. براساس این تحقیق اثر بیضویت در اثرات توپوگرافی حدود یک هزارم مقدار کروی آن کمیت است. در تحقیق وایدا و همکاران (۲۰۰۴) انتگرال نیوتن برای محاسبه پتانسیل جاذبی توپوگرافی در دستگاه مختصات ژئودتیکی نوشته و سپس با تقریب کروی روابط را ساده کردند. براساس تحقیق شوبرگ (۲۰۰۴) اثر بیضویت می‌تواند ۱ میلی‌متر در ارتفاع ژئوئید تأثیرگذار باشد که این مقدار قابل صرف‌نظر کردن است.

نکته قابل توجه دیگر، سطح مبنای ارتفاعی در محاسبه اثر توپوگرافی (ژئوئید یا بیضوی) است. معمولاً هدف از اعمال اثر توپوگرافی برای داده‌های جاذبی هماهنگ (هارمونیک) کردن فضا است. گاهی نیز اثر توپوگرافی برای دستیابی به کمیتی فاقد بسامدهای زیاد برای انتقال رو

L از رابطه (۴) داده شده است. خوشبختانه انتگرال نسبت به مولفه ارتفاعی دارای جواب تحلیلی است. در این صورت این انتگرال به یک انتگرال سطحی که با استفاده از روش های عددی قابل حل است، تقلیل می یابد. لازم به ذکر است که همان طور در بالا اشاره شد، این انتگرال فقط در دستگاه مختصات بیضوی گاوسی (ژئودتیکی) جواب تحلیلی نسبت به مولفه ارتفاعی دارد. در صورت استفاده از سایر دسته مولفه های دستگاه مختصات بیضوی نظیر  $(u, \varphi, \lambda)$ ، باید از روش های عددی برای انتگرال گیری روی مولفه ارتفاعی استفاده کنیم. برای عرضه یک راه حل تا حد امکان کوچک برای حل انتگرال این رابطه را بر حسب کمیت  $\zeta'$  مرتب می کنیم:

$$V^T(\varphi, \lambda, h) = G \rho \int_E \int_{\zeta'=0}^{\zeta'=h'} \frac{(\zeta'^2 + A\zeta' + B)}{\sqrt{\zeta'^2 + C\zeta' + D}} d\zeta' dE', \quad (6)$$

$$\begin{aligned} A &= N' + M', \\ B &= N'M', \\ C &= -2(X - N' \cos \varphi' \cos \lambda') \cos \varphi' \cos \lambda' \\ &\quad - 2(Y - N' \cos \varphi' \sin \lambda') \cos \varphi' \sin \lambda' \\ &\quad - 2(Z + \sin \varphi' N' (e^2 - 1)) \sin \varphi' \\ D &= (X - N' \cos \varphi' \cos \lambda')^2 + (Z - \sin \varphi' N' (1 - e^2))^2 \\ &\quad + (Y - N' \cos \varphi' \sin \lambda')^2. \end{aligned} \quad \text{که،}$$

که در این روابط  $(X, Y, Z)$  مختصات ژئوستریک دکارتی نقطه محاسباتی است. جواب انتگرال نسبت به  $\zeta'$  عبارت است از:

$$\int \frac{\zeta'^2 + A\zeta' + B}{\sqrt{\zeta'^2 + C\zeta' + D}} d\zeta' = \frac{1}{4} L(2\zeta' - 3C + 4A) + \frac{1}{8} \ln \left( \frac{C}{2} + \zeta' + L \right) (3C^2 - 4D - 4AC + 8B), \quad (7)$$

که در آن،  $L = \sqrt{\zeta'^2 + C\zeta' + D}$  همان فاصله فضایی است. با فرض تغییرات جانبی برای چگالی، انتگرال سطحی برای تعیین پتانسیل توپوگرافی بالای ژئوئید عبارت است از:

$$V^T(\varphi, \lambda, h) = G \rho \int_E \int_{\zeta'=0}^{\zeta'=h'} \frac{1}{4} L(2\zeta' - 3C + 4A) + \frac{1}{2} \ln \left( \frac{C}{2} + \zeta' + L \right) (3C^2 - 4D - 4AC + 8B) \Big|_{\zeta'=0}^{\zeta'=h'} dE'. \quad (8)$$

انتگرال فوق برای محاسبه پتانسیل توپوگرافی در روی

دستگاه مختصات بیضوی گاوسی  $(\varphi, \lambda, h)$  صورت می گیرد، همچنین به علت امکان حل تحلیلی انتگرال نیوتن نسبت به مولفه ارتفاعی در این دستگاه مختصات، از دستگاه مختصات گاوسی برای بیان اثرات توپوگرافی استفاده می کنیم. این دستگاه مختصات را گاهی دستگاه مختصات ژئودتیکی نیز می گویند. ارتباط این دستگاه با دستگاه مختصات دکارتی ژئوستریک زمین به صورت رابطه (۲) تعریف می شود (وینیچک و کراکوسکی، ۱۹۸۶).

$$\begin{aligned} X &= (N + h) \cos \varphi \cos \lambda; \\ Y &= (N + h) \cos \varphi \sin \lambda; \\ Z &= [N(1 - e^2) + h] \sin \varphi, \end{aligned} \quad (2)$$

که در آن،  $N(\varphi) = a(1 - e^2 \sin^2 \varphi)^{-1/2}$  شعاع مقطع نصف النهاری است.  $e$  خروج از مرکزیت بیضوی کوچک بیضوی هستند. ژاکوبین این دستگاه مختصات را می توان با استفاده از معادلات (۲) به دست آورد.

$$J = \left| \frac{\partial(X, Y, Z)}{\partial(\lambda, \varphi, h)} \right| = (N + h)(M + h) \cos \varphi, \quad (3)$$

که در آن،  $M(\varphi) = a(1 - e^2)(1 - e^2 \sin^2 \varphi)^{-3/2}$  شعاع مقطع نصف النهاری است. همچنین فاصله فضایی بین دو نقطه در دستگاه مختصات ژئودتیکی عبارت است از:

$$\begin{aligned} L^2(\varphi, \lambda, h, \varphi', \lambda', h') &= (X - X')^2 + (Y - Y')^2 + (Z - Z')^2 \\ &= (N' + h')^2 \cos^2 \varphi' + (N + h)^2 \cos^2 \varphi \\ &\quad - 2(N' + h')(N + h) \cos \varphi' \cos \varphi \cos(\lambda - \lambda') \\ &\quad + (N' + h' - e^2 N')^2 \sin^2 \varphi' + (N + h - e^2 N)^2 \sin^2 \varphi \\ &\quad - 2(N' + h' - e^2 N')(N + h - e^2 N) \sin \varphi' \sin \varphi. \end{aligned} \quad (4)$$

با توجه به رابطه (۳) پتانسیل جاذبی ناشی از جرم بالای بیضوی در دستگاه مختصات ژئودتیکی به صورت رابطه (۵) بیان می شود:

$$V^T(\varphi, \lambda, h) = G \rho \int_E \int_{\zeta'=0}^{\zeta'=h'} \frac{(N' + \zeta')(M' + \zeta')}{L(\varphi, \lambda, h, \varphi', \lambda', \zeta')} d\zeta' dE'. \quad (5)$$

که در آن،  $dE' = \cos \varphi d\varphi d\lambda$  المان سطحی و تابع فاصله

ژئوستریکیک  $(X, Y, Z)$  به دست می‌آید:

$$V^{TB}(X, Y, Z) = -\frac{2\pi}{3} G \rho a b^2 (1 - m^3) \frac{\pi - 2 \arctan(\sqrt{b^2 + \lambda_1} / E)}{E} \quad (13)$$

البته با توجه به یکسان بودن سهم تکینگی پتانسیل قبل و بعد از تحکیم، نیازی به محاسبه عبارت بوگه برای اثرات توپوگرافی در فضای هلمرت نیست.

با توجه به معادلات (۸) و (۹) عبارت ناهمواری پتانسیل توپوگرافی نسبت به پوسته بوگه بیضوی عبارت است از:

$$V^{TR}(\varphi, \lambda, h) = G \rho \int_E \frac{1}{4} L(2\zeta' - 3C + 4A) + \frac{1}{2} \ln(C/2 + \zeta' + L)(3C^2 - 4D - 4AC + 8B) \Big|_{\zeta'=h}^{\zeta'=h'} dE' \quad (14)$$

برای محاسبه شتاب جاذبی ناشی از توپوگرافی از گرادیان ارتفاعی پتانسیل استفاده می‌کنیم.

$$(15)$$

$$A^T(\varphi, \lambda, h) = -\frac{\partial V^T}{\partial h} = -G \rho \int_E \int_{\zeta'=0}^{\zeta'=h'} \frac{(X - X') \cos \varphi \cos \lambda + (Y - Y') \cos \varphi \sin \lambda + (Z - Z') \sin \varphi}{L^{3/2}} d\zeta' dE',$$

پس از جای‌گذاری مقادیر  $(X', Y', Z')$ ، برای حل تحلیلی انتگرال اخیر روی مولفه ارتفاعی بهتر است آن را همانند قبل برای مولفه  $\zeta'$  مرتب کنیم:

$$A^T(\varphi, \lambda, h) = G \rho \int_E \int_{\zeta'=0}^{\zeta'=h'} \frac{E \zeta'^3 + F \zeta'^2 + G \zeta' + H}{(\zeta'^2 + C \zeta' + D)^{3/2}} d\zeta' dE', \quad (16)$$

$$E = \sin \varphi \sin \varphi' + \cos \lambda \cos \varphi \cos \lambda' \cos \varphi' + \sin \lambda \cos \varphi \sin \lambda' \cos \varphi',$$

$$F = EA + U,$$

$$G = EB - AU,$$

$$H = -EB,$$

$$U = \sin \varphi [z - \sin \varphi' N'(1 - e^2)]$$

$$+ \cos \lambda \cos \varphi (x - \cos \lambda' \cos \varphi' N')$$

$$+ \sin \lambda \cos \varphi (y - \sin \lambda' \cos \varphi' N').$$

حاصل انتگرال به دست آمده برای مولفه ارتفاعی عبارت است از:

سطح زمین دارای تکینگی ضعیف است. برای رفع آن می‌توان سهم تکینگی (پتانسیل بوگه بیضوی) را جداگانه محاسبه کرد:

$$V^T(\varphi, \lambda, h) = G \rho \int_E \int_{\zeta'=0}^{\zeta'=h} \frac{(N' + \zeta')(M' + \zeta')}{L(\varphi, \lambda, h, \varphi', \lambda', \zeta')} d\zeta' dE' + G \rho \int_E \int_{\zeta'=h}^{\zeta'=h'} \frac{(N' + \zeta')(M' + \zeta')}{L(\varphi, \lambda, h, \varphi', \lambda', \zeta')} d\zeta' dE' = V^{TB}(\varphi, \lambda, h) + V^{TR}(\varphi, \lambda, h); \quad (9)$$

در رابطه فوق  $V^{TB}$  عبارت بوگه نسبت به یک پوسته بیضوی معادل سهم تکینگی است و  $V^{TR}$  عبارت ناهمواری توپوگرافی نسبت به پوسته بیضوی است. پتانسیل ناشی از یک پوسته بیضوی شکل با ارتفاع  $h$  است که می‌توان با پتانسیل ناشی از یک هم‌نوئید تقریب زد. هم‌نوئید، حجم محصور بین دو بیضوی هم‌مرکز و متشابه است (شکل ۱). پتانسیل هم‌نوئید محصور بین بیضوی با معادله  $\frac{X^2}{a^2} + \frac{Y^2}{b^2} + \frac{Z^2}{c^2} = m$  و بیضوی  $\frac{X^2}{a^2} + \frac{Y^2}{b^2} + \frac{Z^2}{c^2} = 1$  که  $m > 1$ ، از رابطه زیر به دست می‌آید (رمزی، ۱۹۴۰؛ مک میلان، ۱۹۵۸):

$$V(X, Y, Z) = -\frac{2\pi}{3} G \rho a b c (1 - m^3) \int_{\lambda}^{\infty} \frac{du}{\sqrt{(u + a^2)(u + b^2)(u + c^2)}}, \quad (10)$$

که برای نقاط داخل هم‌نوئید  $\lambda = 0$  و برای نقاط خارج آن بزرگ‌ترین ریشه معادله زیر است:

$$\frac{X^2}{a^2 + \lambda} + \frac{Y^2}{b^2 + \lambda} + \frac{Z^2}{c^2 + \lambda} - 1 = 0. \quad (11)$$

که  $(X, Y, Z)$  مختصات ژئوستریکیک نقطه پیش گفته است. معادله فوق دارای دو ریشه به صورت رابطه (۱۲) است.

$$\lambda_{1,2} = \frac{1}{2} \left[ (X^2 + Y^2 + Z^2 - a^2 - b^2) \pm \sqrt{(X^2 + Y^2 + Z^2 - a^2 + b^2)^2 + 4z^2(a^2 - b^2)} \right] \quad (12)$$

ریشه بزرگ‌تر با توجه به مثبت بودن رادیکال مشخص است. با حل انتگرال رابطه (۱۰) و جای‌گذاری ریشه بزرگ‌تر معادله (۱۱)، پتانسیل ناشی از یک پوسته بیضوی دو محوری در نقطه‌ای خارج یا روی آن با مختصات

$$A^{TB}(\phi, \lambda, h) = -2G\rho \int_E \frac{4E\zeta'^2 + 6EC\zeta' - 3EC^2 + 8ED - 4F\zeta' + 2FC - 4G}{4L} d\zeta' + \frac{4EDC\zeta' + 2EDC^2 + FC^2\zeta' - 2GC\zeta' - GC^2 + 4U\zeta' + 2UC}{L(4D - C^2)} + \frac{-6EC^3\zeta' - 3EC^4 + 2FC^3}{4L(4D - C^2)} + \left(F - \frac{3}{2}EC\right) \ln\left(\frac{C}{2} + \zeta' + L\right) \Big|_{\zeta'=h}^{\zeta'=h'} dE' \quad (21)$$

### ۳ پتانسیل جاذبی توپوگرافی تحکیم شده و گرادیان ارتفاعی آن

در برخی از نظریه‌های تعیین ژئوئید از جمله استوکس - هلمرت توپوگرافی بالای ژئوئید/بیضوی با یک لایه بسیار نازک روی ژئوئید/بیضوی جایگزین می‌شود. این کار برای محقق شدن شرایطی است که نظریه استوکس برای تعیین ژئوئید بدان نیاز دارد. در این بخش روابط لازم برای محاسبه پتانسیل جاذبی توپوگرافی تحکیم شده روی بیضوی و گرادیان ارتفاعی در دستگاه مختصات بیضوی گاوسی ارائه می‌شود.

تحکیم اجرام بالای ژئوئید در دو حال حفظ جرم و یا حفظ مرکز جرم زمین میسر است. در حالت حفظ جرم زمین، جرم زمین قبل و بعد از تحکیم ثابت باقی می‌ماند. اگر  $M_c$  و  $M_i$ ،  $M_g$  به ترتیب بیانگر جرم زمین تا بیضوی، جرم توده توپوگرافی بالای بیضوی و جرم توپوگرافی تحکیم شده باشد، شرط حفظ جرم زمین عبارت است از:

$$M_c = M_i; \quad (22)$$

$$\int_E \sigma(\phi', \lambda') N' M' dE = \int_E \int_{\zeta'=0}^h \rho(\phi', \lambda', \zeta') (N' + \zeta') (M' + \zeta') d\zeta' dE.$$

که در این رابطه،  $\sigma$  چگالی سطحی و  $\rho$  چگالی توپوگرافی است. با فرض ثابت بودن چگالی توپوگرافی، چگالی سطحی برابر با رابطه (۲۳) است.

$$\sigma(\phi', \lambda') = \frac{\rho}{N'M'} \int_{\zeta'=0}^h (N' + \zeta') (M' + \zeta') d\zeta' \quad (23)$$

با انتگرال‌گیری در راستای ارتفاعی و قرار دادن مقادیر حدی برای آن خواهیم داشت:

$$\int \frac{E\zeta'^3 + F\zeta'^2 + G\zeta' + H}{(\zeta'^2 + C\zeta' + D)^{3/2}} d\zeta' = \frac{4E\zeta'^2 + 6EC\zeta' - 3EC^2 + 8ED - 4F\zeta' + 2FC - 4G}{4L} + \frac{4EDC\zeta' + 2EDC^2 + FC^2\zeta' - 2GC\zeta' - GC^2 + 4U\zeta' + 2UC}{L(4D - C^2)} + \frac{-6EC^3\zeta' - 3EC^4 + 2FC^3}{4L(4D - C^2)} + \left(F - \frac{3}{2}EC\right) \ln\left(\frac{C}{2} + \zeta' + L\right) \quad (17)$$

در نهایت انتگرال اثر جاذبی توپوگرافی تبدیل به یک انتگرال دو بُعدی روی سطح بیضوی می‌شود:

$$A^T(\phi, \lambda, h) = -2G\rho \int_E \frac{4E\zeta'^2 + 6EC\zeta' - 3EC^2 + 8ED - 4F\zeta' + 2FC - 4G}{4L} + \frac{4EDC\zeta' + 2EDC^2 + FC^2\zeta' - 2GC\zeta' - GC^2 + 4U\zeta' + 2UC}{L(4D - C^2)} + \frac{-6EC^3\zeta' - 3EC^4 + 2FC^3}{4L(4D - C^2)} + \left(F - \frac{3}{2}EC\right) \ln\left(\frac{C}{2} + \zeta' + L\right) \Big|_{\zeta'=0}^{\zeta'=h'} dE' \quad (18)$$

همانند آنچه در حالت پتانسیل داشتیم، انتگرال فوق به ازای نقطه محاسباتی روی زمین دارای تگینگی ضعیف است. سهم تگینگی شتاب ناشی از یک پوسته بیضوی به ارتفاع  $h$  است. شتاب ناشی از چنین پوسته‌ای معادل شتاب ناشی از یک هموئوئید است. شتاب ناشی از یک هموئوئید، محصور بین دو بیضوی با نیم‌قطرهای  $(a, b, c)$  و  $(ma, mb, mc)$  که  $m > 1$ ، در نقطه‌ای خارج و یا روی آن به مختصات دکارتی  $(x, y, z)$  عبارتست از (رمزی، ۱۹۴۰؛ مک میلان، ۱۹۵۸):

$$A^{TB}(x, y, z) = \frac{4}{3} \pi G \rho (1 - m^3) abc \frac{\sqrt{x^2 + y^2 + z^2 + \lambda}}{\sqrt{(a^2 + \lambda)(b^2 + \lambda)(c^2 + \lambda)}} \quad (19)$$

که در آن،  $\lambda$  بزرگ‌ترین ریشه معادله (۱۱) است. برای بیضوی دو محوری زمین، شتاب ناشی از یک پوسته بیضوی با ارتفاع  $h$  در نقطه‌ای با مختصات دکارتی  $(x, y, z)$  عبارت است از:

$$A^{TB}(X, Y, Z) = \frac{4}{3} \pi G \rho (1 - m^3) a^2 b \frac{\sqrt{X^2 + Y^2 + Z^2 + \lambda_1}}{(a^2 + \lambda_1) \sqrt{(b^2 + \lambda_1)}} \quad (20)$$

که در آن،  $\lambda_1$  از رابطه (۱۲) به دست می‌آید. همچنین شتاب جاذبی ناهمواری توپوگرافی (اثر توپوگرافی بیضوی) عبارت است از:

با ثابت در نظر گرفتن چگالی توپوگرافی، چگالی سطحی از انتگرال بالا به صورت زیر محاسبه می‌شود:

$$\sigma(\Omega) = \frac{1}{a(b^2 + E^2 \sin^2 \beta')} \int_b^{u(\Omega)} \sqrt{u'^2 + E^2} (u'^2 + E^2 \sin^2 \beta') du' \quad (30)$$

برای یکسان سازی فرمول‌ها بهتر است معادله اخیر را در دستگاه مختصات بیضوی گاوسی بنویسیم:

$$\sigma(\varphi', \lambda') = \frac{1}{(N+h')^2 (M'+h')} \int_{\zeta'=0}^{\eta'} (N'+\zeta')^2 (M'+\zeta') d\zeta' \quad (31)$$

از حل این انتگرال و جای گذاری حدود آن رابطه چگالی سطحی در حالت حفظ مرکز گرانی جرم زمین به دست می‌آید:

$$\sigma(\varphi, \lambda) = \frac{h}{N^2 M} \left( N^2 M + \frac{1}{2} (N^2 + 2N^2 M) h + \frac{1}{3} (2N+M) h^2 + \frac{1}{4} h^3 \right) \quad (32)$$

پتانسیل ناشی از تحکیم توپوگرافی با چگالی بالای بیضوی در رو برابر است با:

$$V^C(\varphi, \lambda, h) = G \int_E \frac{\sigma(\varphi', \lambda')}{L(\varphi, \lambda, h, \varphi', \lambda')} N M dE' \quad (33)$$

که فاصله فضایی  $(L(\varphi, \lambda, h, \varphi', \lambda', h') = 0)$  از رابطه (۴) به دست می‌آید. گرچه این انتگرال برای نقاطی غیر واقع روی بیضوی، تکینگی ندارد، اما بر طبق رویه قبلی توان آن را به صورت مجموع دو عبارت بوگه و ناهمواری نوشت:

$$V^C(\varphi, \lambda, h) = V^{CB}(\varphi, \lambda, h) + V^{CR}(\varphi, \lambda, h) \quad (34)$$

عبارت  $V^{CB}$  را می‌توان معادل پتانسیل یک همونوئید با ضخامت بی‌نهایت نازک در نظر گرفت. برای این منظور کافی است در رابطه (۱۴)،  $m \rightarrow 1$  میل داده شود. در این حالت:

$$V^{CB}(X, Y, Z) = 2\pi G a b \sigma(X, Y, Z) \frac{\pi - 2 \arctan(\sqrt{b^2 + \lambda_1} / E)}{E} \quad (35)$$

و عبارت ناهمواری پتانسیل توپوگرافی تحکیم شده

$$\sigma(\varphi, \lambda) = \rho h \left( 1 + \frac{h}{2} \frac{N+M}{NM} + \frac{h^3}{2NM} \right) \quad (24)$$

برای دستیابی به چگالی لایه سطحی با شرط حفظ مرکز جرم زمین بهتر است از دستگاه مختصات بیضوی  $(\lambda, \beta, u)$  استفاده شود. ارتباط این مولفه‌ها با مولفه‌های دکارتی عبارت است از (هیسکانن و موریتز، ۱۹۶۷):

$$\begin{aligned} X &= \sqrt{u^2 + E^2} \cos \beta \cos \lambda; \\ Y &= \sqrt{u^2 + E^2} \cos \beta \sin \lambda; \\ Z &= u \sin \beta. \end{aligned} \quad (25)$$

ارتباط المان حجم در این دستگاه مختصات و دستگاه مختصات دکارتی عبارت است از:

$$\begin{aligned} dX dY dZ &= (u^2 + E^2 \cos^2 \beta) \cos \beta du d\beta d\lambda \\ &= (u^2 + E^2 \cos^2 \beta) du d\Omega. \end{aligned} \quad (26)$$

اگر  $(X_C, Y_C, Z_C)$  مختصات دکارتی مرکز گرانی زمین باشد. مولفه  $X_C$  برابر است با:

$$\begin{aligned} X_C &= \frac{1}{M} \int_E \int_{u'=0}^{u(\Omega)} \rho(u', \beta', \lambda') e_x(u'^2 + E^2 \sin^2 \beta') du' d\Omega'; \\ e_x &= \sqrt{u'^2 + E^2} \cos \beta' \cos \lambda'. \end{aligned} \quad (27)$$

این رابطه برای مولفه‌های دیگر نیز به همین ترتیب نوشته می‌شود. اگر  $(X_C^h, Y_C^h, Z_C^h)$  مرکز گرانی بعد از تحکیم توپوگرافی باشد، در این صورت برای مولفه  $X_C^h$  خواهیم داشت:

$$\begin{aligned} X_C^h &= \frac{1}{M} \int_E \int_{u'=0}^b \rho(u', \Omega') e_x(u'^2 + E^2 \sin^2 \beta') du' d\Omega' \\ &+ \frac{1}{M} \int_E \sigma(\Omega') e_{x_0}(b^2 + E^2 \sin^2 \beta') d\Omega' \\ e_{x_0} &= \sqrt{b^2 + E^2} \cos \beta' \cos \lambda'. \end{aligned} \quad (28)$$

مولفه‌های دیگر را می‌توان به همین ترتیب نوشت. در حالت حفظ مرکز گرانی جرم زمین بعد از تحکیم نیاز است که،  $X_C^h = 0, Y_C^h = 0, Z_C^h = 0$ ، اعمال این شرط برای مولفه  $X$  به صورت زیر است:

$$\begin{aligned} \frac{1}{M} \int_E \int_{u'=0}^b \rho(u', \Omega') e_x(u'^2 + E^2 \sin^2 \beta') du' d\Omega' \\ = -\frac{1}{M} \int_E \sigma(\Omega') e_{x_0}(b^2 + E^2 \sin^2 \beta') d\Omega' \end{aligned} \quad (29)$$

عبارت است از:

$$V^{CR}(\varphi, \lambda, h) = G \int_E \frac{\sigma(\varphi', \lambda') - \sigma(\varphi, \lambda)}{L(\varphi, \lambda, h, \varphi', \lambda')} N M dE' \quad (36)$$

گرادبان ارتفاعی رابطه (۳۳) شتاب ناشی از توپوگرافی تحکیم شده روی ژئوئید را می‌دهد:

$$A^c(\varphi, \lambda, h) = -\frac{\partial V^c}{\partial h} = -G \int_E \sigma(\varphi', \lambda') [(X - X') \cos \varphi \cos \lambda + (Y - Y') \cos \varphi \sin \lambda + (Z - Z') \sin \varphi] L^{-3/2} N' M' dE' \quad (37)$$

که  $(X, Y, Z)$  و  $(X', Y', Z')$  به ترتیب مختصات دکارتی نقطه محاسبه و نقطه انتگرال‌گیری است. عبارت بوگه این انتگرال را می‌توان با شتاب ناشی از یک همونوئید بی‌نهایت نازک تقریب کرد. لذا با اعمال  $m \rightarrow 1$  در رابطه (۲۰) عبارت است از:

$$A^{TB}(X, Y, Z) = 4\pi G a b \sigma(X, Y, Z) \frac{\sqrt{X^2 + Y^2 + Z^2 + \lambda_1}}{(a^2 + \lambda_1) \sqrt{(b^2 + \lambda_1)}} \quad (38)$$

همچنین عبارت ناهمواری انتگرال فوق برابر است با:

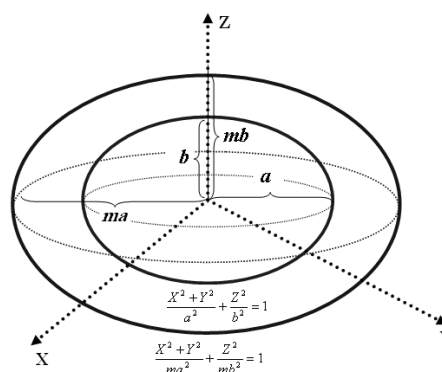
$$A^c(\varphi, \lambda, h) = -G \int_E [\sigma(\varphi', \lambda') - \sigma(\varphi, \lambda)] [(X - X') \cos \varphi \cos \lambda + (Y - Y') \cos \varphi \sin \lambda + (Z - Z') \sin \varphi] L^{-3/2} N' M' dE' \quad (39)$$

۴ پتانسیل جاذبی توپوگرافی و گرادبان ارتفاعی آن در دستگاه مختصات کروی مدل‌های رقومی توپوگرافی در دستگاه مختصات دکارتی

(سیستم‌های تصویر) و یا در دستگاه مختصات ژئودتیکی گاوسی منتشر می‌شوند. از این رو به‌طور مستقیم امکان حل انتگرال‌های توپوگرافی در دستگاه مختصات کروی وجود ندارد. یک روش برای استفاده از تقریب کروی، اعمال تقریب کروی در روابط انتگرالی بیضوی است که در بخش‌های فوق بدان اشاره شد. در تقریب کروی می‌توان از بیضویت زمین صرف‌نظر کرد در این صورت،  $e^2 = 0 \Rightarrow N = M = a$  دستگاه مختصات ژئودتیکی عبارت است از:

$$L^2(\varphi, \lambda, h, \varphi', \lambda', h') = (X - X')^2 + (Y - Y')^2 + (Z - Z')^2 = (a + h)^2 + (a + h')^2 - 2(a + h)(a + h') \cos \psi = r^2 + r'^2 - 2rr' \cos \psi \quad (40)$$

که در این رابطه،  $\cos \psi = \sin \varphi \sin \varphi' + \cos \varphi \cos \varphi' \cos(\lambda - \lambda')$  برای سادگی روابط در رابطه فوق  $r' = a + h'$  و  $r = a + h$  قرار دادیم. در حقیقت پارامتر  $a$  نقش شعاع کره متوسط زمین در تقریب کروی را بازی می‌کند. روابط پتانسیل جاذبی توپوگرافی و گرادبان ارتفاعی آن بارها از سوی محققان گوناگون عرضه شده و مورد استفاده قرار گرفته است که در این خصوص می‌توان به (مارتینک و همکاران، ۱۹۹۵؛ مارتینک، ۱۹۹۸؛ تنزر و همکاران، ۲۰۰۳؛ مخلوف و ایلک، ۲۰۰۸) مراجعه کرد.



شکل ۱. شکل هندسی همونوئید. همونوئید حجم محصور بین دو بیضوی با نیم قطرهای  $(a, b)$  و  $(ma, mb)$  است که  $0 < m < 1$ .



## ۵ نتایج عددی

نزدیک: شعاع ۱۵ دقیقه اطراف نقطه که از یک مدل ارتفاعی با گام ۳ ثانیه یا کمتر استفاده می‌شود. ۲- منطقه نزدیک: از شعاع ۱۵ دقیقه تا ۱ درجه که از مدل متوسط با گام ۳۰ ثانیه استفاده می‌شود و از شعاع ۱ درجه تا ۴ درجه که از مدل ارتفاعی با گام ۵ دقیقه استفاده می‌شود. ۳- ناحیه دور دست: ناحیه با شعاع بزرگتر از ۴ درجه که از مدل رقومی جهانی با گام ۳۰ دقیقه استفاده می‌شود.

تفاوت بین دو تقریب بیضوی و کروی پتانسیل جاذبی توپوگرافی و گرادیان ارتفاعی آن در شکل‌های ۲-الف و ۲-ب آمده است. همچنین شکل‌های ۲-ج و ۲-د این اختلاف را برای توپوگرافی تحکیم شده نشان می‌دهند. بر این اساس به مثابه اولین نتیجه می‌توان دید که تفاوت‌ها وابسته به شدت توپوگرافی است. لذا می‌توان انتظار داشت که در مناطق مسطح و دشت، اختلاف بین روابط کروی و بیضوی در مدل‌سازی اثرات توپوگرافی کمتر از دقت‌های مورد نیاز در ژئودزی است.

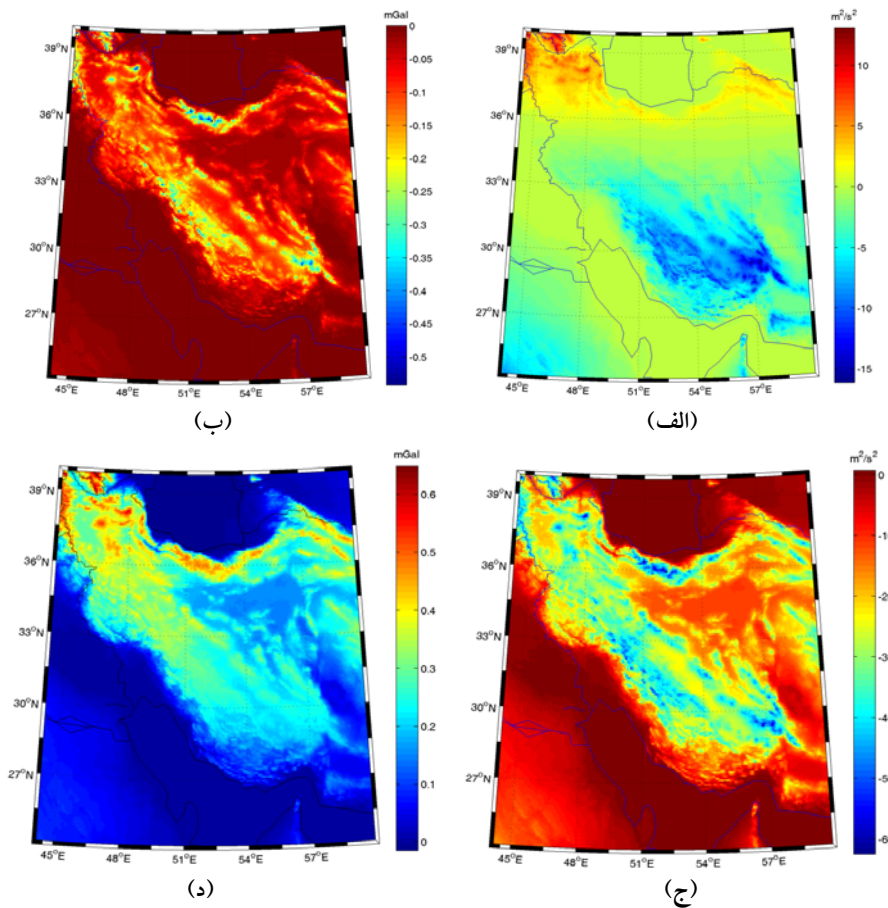
این بخش به نتایج عددی دو تقریب کروی و بیضوی از تابع‌های پتانسیل و شتاب جاذبی توپوگرافی روی منطقه ایران با ارتفاع بیشتر از ۵۰۰۰ متر اختصاص دارد. برای محاسبه اثرات توپوگرافی، مدل‌های رقومی زمین SRTM با گام ۳ ثانیه استفاده شده است. در محاسبه اثرات توپوگرافی مناطق نزدیک از مدل‌های متوسط ارتفاعی ۳۰ ثانیه و ۵ دقیقه استفاده شده است. این مدل‌ها از میانگین گیری مدل ۳ ثانیه به دست آمده‌اند. همچنین برای محاسبه اثرات توپوگرافی مناطق دور دست از یک مدل رقومی با گام ۱ درجه حاصل از متوسط‌گیری از مدل رقومی جهانی ETOPO5 با گام ۵ دقیقه استفاده شده است. با توجه به اینکه همه کرنل انتگرال‌های توپوگرافی، تابعی از معکوس فاصله هستند، با حفظ دقت، سهم مناطق دورتر را می‌توان از داده‌های ارتفاعی با گام بیشتر محاسبه کرد. در اینجا برای محاسبه همه اثرات توپوگرافی، پهنه‌بندی زیر مورد استفاده قرار گرفت: ۱- منطقه خیلی

جدول ۱. پارامترهای آماری تفاوت تقریب بیضوی و کروی پتانسیل جاذبی توپوگرافی و گرادیان ارتفاعی آن. واحد پتانسیل  $m^2s^{-2}$  و واحد گرادیان پتانسیل میلی‌گال می‌باشد.

STD	mean	max	min	
پتانسیل				
3.204	-1.341	13.096	-16.136	عبارت بوگه
0.002	0.000	0.023	-0.032	ناحیه خیلی نزدیک
0.167	-0.016	0.879	-1.008	ناحیه نزدیک
10.562	-4.612	39.051	-52.075	ناحیه دور دست
گرادیان پتانسیل				
0.077	-0.045	0.000	-0.542	عبارت بوگه
0.003	0.000	0.051	-0.039	ناحیه خیلی نزدیک
0.003	0.001	0.040	-0.019	ناحیه نزدیک
0.081	0.051	0.382	-0.223	ناحیه دور دست

جدول ۲. پارامترهای آماری اختلاف تقریب بیضوی و کروی پتانسیل جاذبی توپوگرافی و گرادیان ارتفاعی آن. واحد پتانسیل  $m^2s^{-2}$  و واحد گرادیان پتانسیل میلی گال می باشد.

STD	Mean	max	min	
پتانسیل				
17.867	-12.797	0.739	-62.497	عبارت بوگه
0.002	0.000	0.022	-0.032	ناحیه خیلی نزدیک
0.167	-0.016	0.879	-1.008	ناحیه نزدیک
10.563	-4.613	39.055	-52.083	ناحیه دور دست
گرادیان پتانسیل				
0.189	0.135	0.648	-0.014	عبارت بوگه
0.008	0.000	0.099	-0.064	ناحیه خیلی نزدیک
0.006	0.001	0.068	-0.042	ناحیه نزدیک
0.083	0.051	0.405	-0.236	ناحیه دور دست



شکل ۲. (الف) تفاوت میان دو تقریب بیضوی و کروی برای پتانسیل جاذبی توپوگرافی، (ب) شتاب جاذبی توپوگرافی، (ج) پتانسیل جاذبی توپوگرافی تحکیم شده و (د) شتاب جاذبی توپوگرافی تحکیم شده.

کرد. با این حال چنانچه مطابق پیشنهاد مارتینک (۱۹۹۸) حد دقت ۱۰ میکروگال را برای تعیین ژئوئید دقیق بپذیریم؛ اعمال تقریب بیضوی ضروری است. مزیت استفاده از روابط بیضوی در مدل‌سازی توپوگرافی، استفاده از دستگاه مختصات بیضوی و تقریب نزدن روابط است. البته این بدان مفهوم نیست که روابط بیضوی در محاسبه اثرات توپوگرافی خطا ندارد. زیرا همواره به علت حل عددی انتگرال‌ها و ماهیت گسسته اطلاع ما از توپوگرافی، خطای گسسته‌سازی وجود دارد. با این حال از نظر هندسی روابط بیضوی کامل‌اند و هیچ تقریبی ندارند. با وجود این مزایا، روابط اثر توپوگرافی در دستگاه مختصات بیضوی پیچیده است و زمان محاسباتی بیشتری را صرف می‌کند.

## ۶ نتیجه‌گیری

در این مقاله روابط مربوط به اثرات توپوگرافی در سیستم مختصات گوسی ژئودتیکی ارائه و اختلاف مقادیر عددی آن با روابط مرسوم کروی ارائه شده است. نتایج عددی حاکی از کوچک بودن اثرات بیضویت توپوگرافی دارد. بطوری که در بیشتر کاربردهای منطقه ای مدل‌سازی میدان ثقل زمین، از جمله تعیین ژئوئید می‌توان با تقریب خوبی از روابط کروی سود برد. همچنین نشان داده شد که عمده اختلاف نتایج تقریب بیضوی و کروی اثرات توپوگرافی از جنس طول موج‌های بلند بوده و در ترم بوگه نهفته است.

## مراجع

- Ardalan, A. A., 1999, High resolution regional geoid computation in the World Geodetic Datum 2000, based upon collocation of linearized observational functionals of the type GPS, gravity potential and gravity intensity, Ph.D. thesis, University of Stuttgart.
- Ardalan, A. A. and Safari, A., 2004, Ellipsoidal terrain correction based on multi-cylindrical

برای بررسی بیشتر تفاوت‌ها باید سهم تفاوت‌های هر ناحیه و عبارت بوگه را جدا کرد. در جدول ۱ اختلاف دو تقریب بیضوی و کروی پتانسیل جاذبی توپوگرافی و گرادیان ارتفاعی آن در سه ناحیه خیلی نزدیک، نزدیک و دور دست آمده است. عددهای جدول ۲ تفاوت‌های فوق را برای توپوگرافی تحکیم شده نشان می‌دهد. باید اشاره کرد که وجود تفاوت‌ها با مقادیر صفر ناشی از گرد کردن و ناچیز بودن آنها است.

با جداسازی تفاوت‌ها به سه ناحیه می‌توان رفتار طیفی اثر بیضویت پتانسیل جاذبی توپوگرافی و گرادیان را بررسی کرد. براساس این نتایج همان‌طور که انتظار می‌رود سهم عمده اثر بیضویت (اختلاف تقریب بیضوی از کروی) در عبارت بوگه نهفته است. زیرا این عبارت قسمت عمده و اصلی میدان پتانسیل ناشی از توپوگرافی را ایجاد می‌کند. با توجه به اینکه در فواصل نزدیک مدل‌های صفحه‌ای، کروی و بیضوی توپوگرافی بسیار به هم نزدیک هستند، می‌توان انتظار داشت که تفاوت‌ها در مناطق دور دست بیشتر باشد. از این رو اثر بیضویت در مدل‌سازی اثرات توپوگرافی بیشتر از جنس طول موج‌های بلند است. لذا بعد از عبارت بوگه بیشتر اثر مربوط به اجرام توپوگرافی در مناطق دور دست است. این دو نکته به وضوح در جدول‌های ۱ و ۲ به چشم می‌خورد.

با توجه به کوچک بودن تفاوت‌ها در جدول‌های ۱ و ۲ روابط تقریب کروی برای بسیاری از کاربردهای آنها در مقیاس منطقه‌ای و جهانی کاملاً کافی به نظر می‌رسد. فقط در تعیین محلی ژئوئید (ژئوئید با دقت سانتی‌متر) ممکن است به استفاده از تقریب بیضوی فقط در کوهستان‌ها نیاز باشد. البته قسمت عمده تفاوت‌ها در جدول‌های ۱ و ۲ ناشی از عبارت‌های بوگه است. از آنجایی که در همه روش‌های تعیین ژئوئید ابتدا اثر توپوگرافی برداشته و سپس اضافه می‌شود؛ تغییر در عبارت‌های بوگه نتایج را دستخوش تغییرات نخواهند

- Geodesy, **78**, 691-706.
- Ramsey, A. S., 1940, An introduction to the theory of Newtonian attraction, The University Press.
- Sjöberg, L. E., 2004, The ellipsoidal corrections to the topographic geoid effects, *Journal of Geodesy*, **77**(12), 804-808.
- Tenzer, R., Novac, P., Janak, J., Huang, J., Najafi-Almadari, M., Vajda, P. and Santos, M., 2003, A review of the UNB Stokes-Helmert approach for precise geoid determination, In *Honoring The Academic Life Of Petr Vanicek* M. Santos (Ed).
- Vajda, P., Vaníček, P., Novák, P. and Meurers, B., 2004, On the evaluation of Newton integrals in geodetic coordinates: Exact formulation and spherical approximation, *Contributions to Geophysics and Geodesy*, **34**(4), 289-314.
- Vaníček, P. and Krakiwsky, E. J., 1986, *Geodesy, The Concepts*, Elsevier Science, 697 p.
- Vaníček, P., Novák, P. and Martinec, Z., 2001, Geoid, topography, and the Bouguer plate or shell, *Journal of Geodesy*, **75**(4), 210-215.
- equal-area map projection of the reference ellipsoid, *Journal of Geodesy*, **78**(1), 114-123.
- Heiskanen, W. H. and Moritz, H., 1967, *Physical geodesy*, San Francisco, W. H. Freeman and Co.
- MacMillan, W. D., 1958, *The theory of the potential*, Dover Publications.
- Makhloof, A. and Ilk, K.-H., 2008, Effects of topographic-isostatic masses on gravitational functionals at the Earth's surface and at airborne and satellite altitudes, *Journal of Geodesy*, **82**(2), 93-111.
- Martinec, Z., 1998, *Boundary-value problems for gravimetric determination of a precise geoid*, Heidelberg, Springer, *Lecture Notes in Earth Sciences*.
- Martinec, Z., Vanicek, P., Mainville, A. and Veronneau, M., 1995, Evaluation of topographical effects in precise geoid computation from densely sampled heights, *Journal of Geodesy*, **20**, 193-203.
- Novak, P. and Grafarend, E. W., 2005, The ellipsoidal representation of the topographical potential and its vertical gradient, *Journal of*